

Modèles géométriques: directs et inverses

Ludovic Hofer

6 novembre 2019

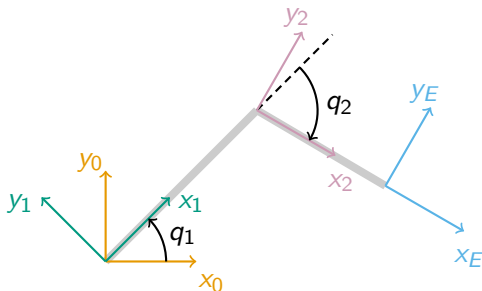
Robots articulés et modèle géométriques

- Deux types d'articulations
 - Rotoïde (liaisons angulaires)
 - Linéaire (liaisons prismatiques)
- Deux types d'architecture
 - Séries
 - Parallèles

Contenu du cours

Modèle géométrique pour robots séries

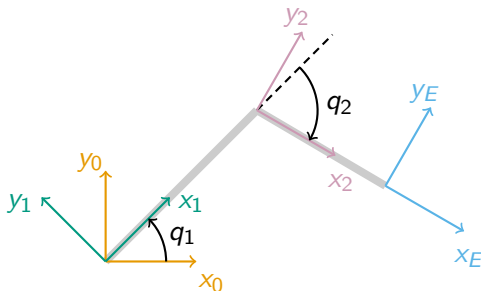
Vocabulaire



Espace articulaire : Q

- n : nombre d'articulations (degrés de liberté)
- Configuration du robot $q = (q_1, \dots, q_n)$
 - Ici : $q = (\pi/6, -5\pi/12)$

Vocabulaire



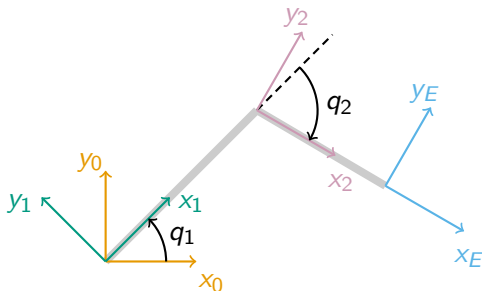
Les repères du robot

0 : La base du robot

i : Repère du corps rigide après i articulations

E : L'effecteur ou outil du robot (pince, etc...)

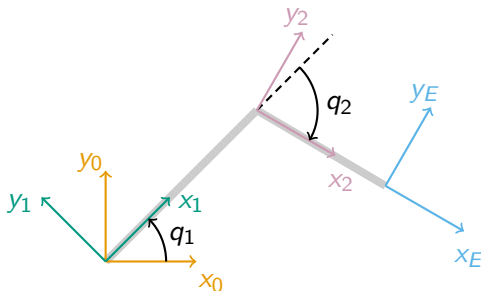
Vocabulaire



Espace opérationnel : \mathcal{O}

- Position de l'outil dans le repère 0
- Orientation du repère E dans le repère 0

Vocabulaire



Les modèles géométriques

Direct : $Q \rightarrow O$ (MGD, *Forward Kinematics*)

Inverse : $O \rightarrow Q$ (MGI, *Inverse Kinematics*)

Repères

Note :

On se restreint ici aux repères orthonormés directs

Notations

O_i L'origine du repère i

\vec{x}_i Le vecteur unitaire \vec{x} du repère i

${}^i\vec{v}$ Le vecteur \vec{v} dans le repère i

iP La position du point P dans le repère i

Remarque

O_i , \vec{x}_i et \vec{y}_i suffisent à spécifier un repère, car :

$$\vec{z}_i = \vec{x}_i \wedge \vec{y}_i$$

Rotation en 3D

Notation

iR_j La rotation de j vers i

$${}^iR_j = \begin{pmatrix} {}^i\vec{x}_j & {}^i\vec{y}_j & {}^i\vec{z}_j \end{pmatrix}$$

Propriétés

- ${}^iR_j = {}^jR_i^T$
- ${}^iR_j^{-1} = {}^jR_i$
- ${}^iR_j {}^j\vec{v} = {}^i\vec{v}$
- ${}^iR_j {}^jR_k = {}^iR_k$

Transformation homogène en 3D

Notation

jT_i Transformation du repère j vers le repère i

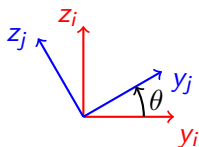
$${}^iT_j = \begin{pmatrix} {}^iR_j & {}^j\vec{O}_i \\ 0_{1 \times 3} & 1 \end{pmatrix}$$

Propriétés

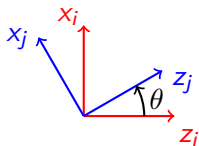
- ${}^iT_j {}^jT_k = {}^iT_k$
- ${}^i\vec{O}_j = -{}^iR_j {}^j\vec{O}_i$
- ${}^iT_j^{-1} = {}^jT_i = \begin{pmatrix} {}^iR_j^T & {}^i\vec{O}_j \\ 0_{1 \times 3} & 1 \end{pmatrix} = \begin{pmatrix} {}^iR_j^T & -{}^iR_j^T {}^j\vec{O}_i \\ 0_{1 \times 3} & 1 \end{pmatrix}$

Rotation autour des axes unitaires

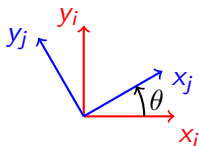
$$\mathcal{R}(\vec{x}, \theta) = \begin{pmatrix} 1 & 0 & 0 & 0 \\ 0 & \cos(\theta) & \sin(\theta) & 0 \\ 0 & -\sin(\theta) & \cos(\theta) & 0 \\ 0 & 0 & 0 & 1 \end{pmatrix}_{i,j}$$



$$\mathcal{R}(\vec{y}, \theta) = \begin{pmatrix} \cos(\theta) & 0 & -\sin(\theta) & 0 \\ 0 & 1 & 0 & 0 \\ \sin(\theta) & 0 & \cos(\theta) & 0 \\ 0 & 0 & 0 & 1 \end{pmatrix}_{i,j}$$



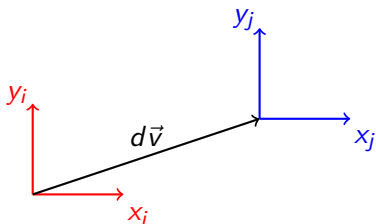
$$\mathcal{R}(\vec{z}, \theta) = \begin{pmatrix} \cos(\theta) & \sin(\theta) & 0 & 0 \\ -\sin(\theta) & \cos(\theta) & 0 & 0 \\ 0 & 0 & 1 & 0 \\ 0 & 0 & 0 & 1 \end{pmatrix}_{i,j}$$



Translation selon un axe

- $\vec{v} \in \mathbb{R}^n$: un vecteur unitaire indiquant l'axe de translation
- $d \in \mathbb{R}$: La distance de la translation

$$\mathcal{T}(\vec{v}, d) = \begin{matrix} j \\ \begin{pmatrix} I_{3 \times 3} & -d\vec{v} \\ 0 & 1 \end{pmatrix} \\ i \end{matrix}$$



Dérivée des transformations

- Dérivée élément par éléments

Exemple : Rotation

$$\frac{d}{dq} \overbrace{\begin{pmatrix} 1 & 0 & 0 & 0 \\ 0 & \cos(q) & \sin(q) & 0 \\ 0 & -\sin(q) & \cos(q) & 0 \\ 0 & 0 & 0 & 1 \end{pmatrix}}^{\mathcal{R}(\vec{x}, q)} = \overbrace{\begin{pmatrix} 0 & 0 & 0 & 0 \\ 0 & -\sin(q) & \cos(q) & 0 \\ 0 & -\cos(q) & -\sin(q) & 0 \\ 0 & 0 & 0 & 0 \end{pmatrix}}^{\mathcal{R}'(\vec{x}, q)}$$

Transformation en fonction de q

- À chaque $q \in \mathcal{Q}$ correspond une matrice 0T_E
- Architecture série : transformations successives :

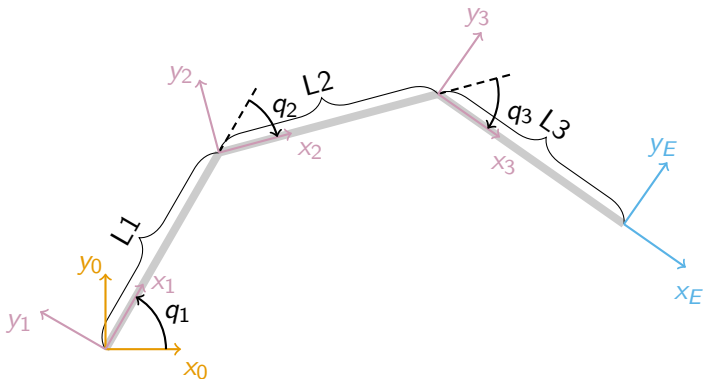
$${}^0T_E(q) = {}^0T_1(q_1) {}^1T_2(q_2) \dots {}^{n-1}T_n(q_n) {}^nT_E$$

- Chaque transformation peut encore être décomposée

$${}^i T_j = {}^i T_{j''} {}^{j''} T_{j'}(q_i) {}^{j'} T_j$$

- Rotoïde : ${}^{j''} T_{j'}(q_i) : \mathcal{R}(\vec{v}, q_i)$, avec \vec{v} l'axe de rotation
- Linéaire : ${}^{j''} T_{j'}(q_i) : \mathcal{T}(\vec{v}, q_i)$, avec \vec{v} l'axe de translation

Exemple : Bras à 3 degrés de libertés



$$\underbrace{
 \begin{matrix}
 {}^0T_1(q_1) & {}^1T_2(q_2) & {}^2T_3(q_3) & {}^3T_E \\
 \mathcal{R}(\vec{z}, -q_1) \mathcal{T}(\vec{x}, -L1) & \mathcal{R}(\vec{z}, -q_2) \mathcal{T}(\vec{x}, -L2) & \mathcal{R}(\vec{z}, -q_3) \mathcal{T}(\vec{x}, -L3) & \\
 \end{matrix}
 }_{{}^0T_E(q)}$$

Notes sur l'espace opérationnel

- 0T_E contient des informations redondantes
 - 9 valeurs pour décrire l'orientation
 - 3 valeurs suffiraient
- 0T_E contient parfois des informations inutiles
 - Par exemple, intérêt uniquement pour la position (x,y)

Notation

- $\mathcal{P}({}^0T_E)$: transformation \rightarrow l'espace opérationnel
- $\mathcal{G}(q) = \mathcal{P}({}^0T_E(q))$
- $\mathcal{G}_i(q)$ Le i -ème élément du vecteur $\mathcal{G}(q)$

Quelques exemples de projection dans \mathcal{O}

Position et orientation

$$\mathcal{P}({}^0T_E) = \mathcal{P}\left(\begin{pmatrix} {}^0R_E & {}^0O_E \\ 0_{1 \times 3} & 1 \end{pmatrix}\right) = \left. \begin{matrix} {}^0O_E \\ \text{roll} \\ \text{pitch} \\ \text{yaw} \end{matrix} \right\} {}^0R_E$$

Position uniquement

$$\mathcal{P}({}^0T_E) = \mathcal{P}\left(\begin{pmatrix} {}^0R_E & {}^0O_E \\ 0_{1 \times 3} & 1 \end{pmatrix}\right) = {}^0O_E$$

Modèle Géométrique Inverse

Objectif

Pour un $o \in \mathcal{O}$, quelles configurations $q \in \mathcal{Q}$ tel que $\mathcal{G}(q) = o$

Différences avec le MGD

- Généralement, plusieurs solutions
- Parfois 0 solutions
- Parfois infinité de solutions

MGI et nombre de degrés de liberté

Cas classique : $n = 6$

L'espace opérationnel comprend position et orientation.

Sur-contraint : $n < 6$

Suppression de contraintes (par exemple position uniquement)

Sous-contraint : $n > 6$

Plusieurs possibilités :

- Fixer toutes les articulations sauf 6
- Introduire des contraintes supplémentaires

Méthodes de résolutions

Pas de solution générale, mais deux approches du problème :

- Méthodes analytiques
 - Résolution géométrique
 - Résolution algébrique
- Méthodes numériques (itératives)
 - Par Jacobienne Inverse
 - Par Jacobienne Transposée

Avantages et inconvénients

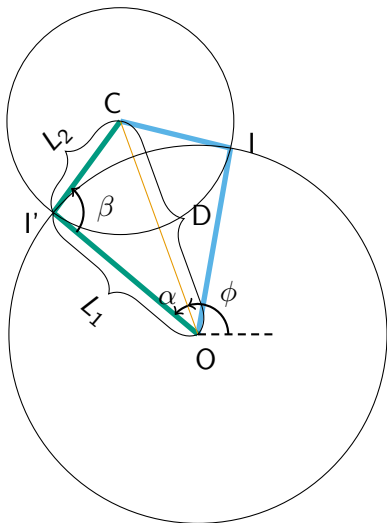
Avantages

- Réponses exactes
- Nombre de solutions disponible
- Exécution rapide

Inconvénients

- Pas de méthode générale : propre à chaque robot
- Ne fournit pas de solution approchée quand la cible n'est pas atteignable

Résolution géométrique : cas pratique



Données du problèmes

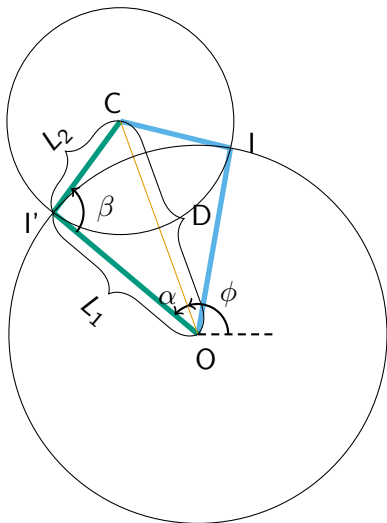
C : Position cible

D : $\|O - C\|$

L_1 : $\|O - I\|$

L_2 : $\|I - C\|$

Résolution géométrique : cas pratique



Quelles valeurs pour α et β

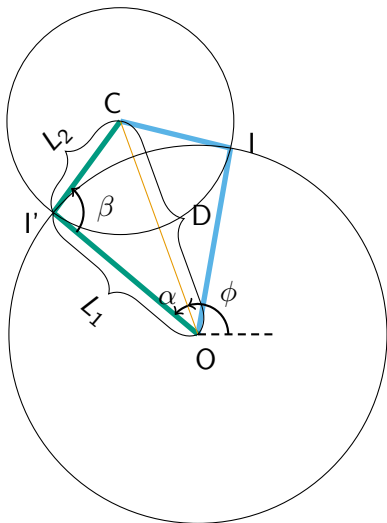
- Par *Al-Kashi* :

$$L_2^2 = D^2 + L_1^2 - 2DL_2 \cos(\alpha)$$
- Autrement dit :

$$\alpha = \arccos\left(\frac{L_1^2 + D^2 - L_2^2}{2L_1 D}\right)$$
- De manière similaire :

$$\beta = \arccos\left(\frac{L_1^2 + L_2^2 - D^2}{2L_1 L_2}\right)$$

Résolution géométrique : cas pratique

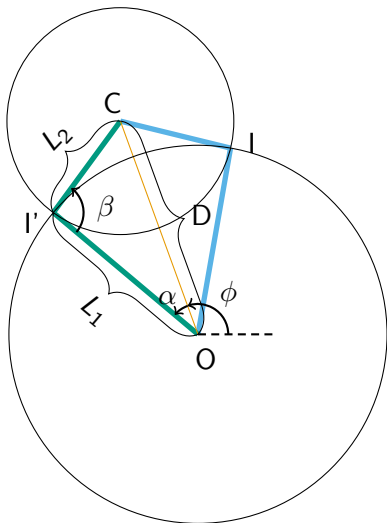


Quelles valeurs pour q_1 et q_2

- Cas classique : 2 solutions :

$$\begin{cases} q_1 = \phi - \alpha, q_2 = 180 - \beta \\ q_1 = \phi + \alpha, q_2 = \beta - 180 \end{cases}$$

Résolution géométrique : cas pratique



Quelles valeurs pour q_1 et q_2

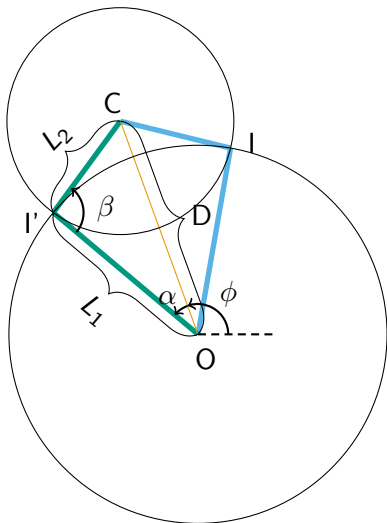
- Cas classique : 2 solutions :

$$\begin{cases} q_1 = \phi - \alpha, q_2 = 180 - \beta \\ q_1 = \phi + \alpha, q_2 = \beta - 180 \end{cases}$$

- Pas de solutions :

- $D > L_1 + L_2$ ou
- $D < |L_2 - L_1|$

Résolution géométrique : cas pratique



Quelles valeurs pour q_1 et q_2

- Cas classique : 2 solutions :

$$\begin{cases} q_1 = \phi - \alpha, q_2 = 180 - \beta \\ q_1 = \phi + \alpha, q_2 = \beta - 180 \end{cases}$$

- Pas de solutions :

- $D > L_1 + L_2$ ou
- $D < |L_2 - L_1|$

- Une seule solution :

$$D = L_1 + L_2$$

Résolution algébrique

- Non-couvert ici ¹
- Systèmes d'équation avec cos et sin
- Choix du repère dans lequel sont exprimés est important
- Utilisation de calcul symbolique (sympy, maxima, maple)

1. Voir 1.2.3 : http://cours-online.gdr-robotique.org/Khalil-Dombre_Modelisation/Khalil-Dombre_Modelisation.pdf

La jacobienne

$$J(\mathbf{q}) = \left(\frac{\partial \mathcal{G}(\mathbf{q})}{\partial q_1} \quad \dots \quad \frac{\partial \mathcal{G}(\mathbf{q})}{\partial q_n} \right) = \begin{pmatrix} \frac{\partial \mathcal{G}_1(\mathbf{q})}{\partial q_1} & \dots & \frac{\partial \mathcal{G}_1(\mathbf{q})}{\partial q_n} \\ \vdots & \ddots & \vdots \\ \frac{\partial \mathcal{G}_k(\mathbf{q})}{\partial q_1} & \dots & \frac{\partial \mathcal{G}_k(\mathbf{q})}{\partial q_n} \end{pmatrix}$$

Utilités

- MGI : méthodes numériques
- Vitesse dans l'espace opérationnel : $\dot{o} = J(\mathbf{q})\dot{\mathbf{q}}$

Avantages et inconvénients

Avantages

- Méthode similaire pour tous les robots, basée sur \mathcal{G}
- Solution approximative pour position impossible

Inconvénients

- Fournit une seule solution
- Vulnérable aux singularités
- Calculatoire
- Non répétable

Inverse de la jacobienne

Résolution du MGI

Soit $\epsilon \in \mathbb{R}^k$ un vecteur de norme faible :

On linéarise \mathcal{G} autour de q : $\mathcal{G}(q + \epsilon) \approx \mathcal{G}(q) + J(q)\epsilon$

Donc : $o - \mathcal{G}(q) \approx J(q)\epsilon$

On peut donc trouver ϵ avec : $\epsilon \approx J(q)^{-1}(o - \mathcal{G}(q))$

Problèmes fréquents

- ϵ trop grand : approximation linéaire invalide
 - Plusieurs pas de résolution : méthode itérative
- $J(q)$ non-inversible (exemple : matrice rectangulaire)

Jacobienne Transposée : Théorie

Formulation du problème

Minimisation d'une fonction de coût $C(o, q)$ avec :

- $o \in \mathcal{O}$: la cible à atteindre
- $q \in \mathcal{Q}$: la configuration du robot

Recherche du coût minimum

- Optimisation de fonction en boîte noire
- Résolution plus efficace avec accès au gradient : $\nabla C(o, q)$

$$\nabla C(o, q) = \begin{pmatrix} \frac{\partial}{\partial q_1} C(o, q) \\ \vdots \\ \frac{\partial}{\partial q_n} C(o, q) \end{pmatrix}$$

Jacobienne Transposée : Exemple

Cas simple

- Cas simple : 3 degrés de liberté
- Cible : position en 3D
- Coût : carré des erreurs :

$$C(o, q) = \sum_{i=0}^3 (o_i - \mathcal{G}_i(q))^2 = (o - \mathcal{G}(q))^T (o - \mathcal{G}(q))$$

Jacobienne Transposée : calcul de $\nabla C(o, q)$

Fonction de coût : carré des erreurs :

$$C(o, q) = \sum_{i=0}^3 (o_i - \mathcal{G}_i(q))^2$$

Jacobienne Transposée : calcul de $\nabla C(o, q)$

Fonction de coût : carré des erreurs :

$$C(o, q) = \sum_{i=0}^3 (o_i - \mathcal{G}_i(q))^2$$

Dérivations de fonctions composées :

$$\frac{\partial C(o, q)}{\partial q_j} = \sum_{i=1}^3 -2(o_i - \mathcal{G}_i(q)) \frac{\partial \mathcal{G}_i(q)}{\partial q_j}$$

Jacobienne Transposée : calcul de $\nabla C(o, q)$

Dérivations de fonctions composées :

$$\frac{\partial C(o, q)}{\partial q_j} = \sum_{i=1}^3 -2(o_i - \mathcal{G}_i(q)) \frac{\partial \mathcal{G}_i(q)}{\partial q_j}$$

Autrement dit :

$$\frac{\partial C(o, q)}{\partial q_j} = -2 \left(\frac{\partial \mathcal{G}(q)}{\partial q_j} \right)^T (o - \mathcal{G}(q))$$

Jacobienne Transposée : calcul de $\nabla C(o, q)$

Autrement dit :

$$\frac{\partial C(o, q)}{\partial q_j} = -2 \left(\frac{\partial \mathcal{G}(q)}{\partial q_j} \right)^T (o - \mathcal{G}(q))$$

D'où :

$$\nabla C(o, q) = -2 \begin{pmatrix} \frac{\partial \mathcal{G}_1(q)}{\partial q_1} & \frac{\partial \mathcal{G}_2(q)}{\partial q_1} & \frac{\partial \mathcal{G}_3(q)}{\partial q_1} \\ \frac{\partial \mathcal{G}_1(q)}{\partial q_2} & \frac{\partial \mathcal{G}_2(q)}{\partial q_2} & \frac{\partial \mathcal{G}_3(q)}{\partial q_2} \\ \frac{\partial \mathcal{G}_1(q)}{\partial q_3} & \frac{\partial \mathcal{G}_2(q)}{\partial q_3} & \frac{\partial \mathcal{G}_3(q)}{\partial q_3} \end{pmatrix} (o - \mathcal{G}(q))$$

Jacobienne Transposée : calcul de $\nabla C(o, q)$

D'où :

$$\nabla C(o, q) = -2 \begin{pmatrix} \frac{\partial \mathcal{G}_1(q)}{\partial q_1} & \frac{\partial \mathcal{G}_2(q)}{\partial q_1} & \frac{\partial \mathcal{G}_3(q)}{\partial q_1} \\ \frac{\partial \mathcal{G}_1(q)}{\partial q_2} & \frac{\partial \mathcal{G}_2(q)}{\partial q_2} & \frac{\partial \mathcal{G}_3(q)}{\partial q_2} \\ \frac{\partial \mathcal{G}_1(q)}{\partial q_3} & \frac{\partial \mathcal{G}_2(q)}{\partial q_3} & \frac{\partial \mathcal{G}_3(q)}{\partial q_3} \end{pmatrix} (o - \mathcal{G}(q))$$

Finalement :

$$\nabla C(o, q) = -2J(q)^T (o - \mathcal{G}(q))$$

Pour aller plus loin

- https://www.pobot.org/IMG/pdf/cinematique_des_robots_series.pdf
- http://cours-online.gdr-robotique.org/Khalil-Dombre_Modelisation/Khalil-Dombre_Modelisation.pdf